

## بررسی و مقایسه دینامیک درهم‌تنیدگی حالت W در چهار هامیلتونی مختلف، در حضور میدان مغناطیسی و برهم‌کنش DM

مجتبی جعفرپور\*، سمانه حسابی

گروه فیزیک، دانشکده علوم، دانشگاه شهید چمران، اهواز، ایران

### چکیده

در این پژوهش تحول زمانی حالت W را تحت تأثیر چهار هامیلتونی هایزنبرگی مدل XX، Jsing، XXZ و XXX به صورت تحلیلی محاسبه کرده و نقش برهم‌کنش DM و همچنین میدان مغناطیسی را نیز بر دینامیک درهم‌تنیدگی بین کیوبیت‌های ابتدایی و انتهایی بررسی خواهیم کرد. ملاحظه می‌شود که در هر چهار هامیلتونی، اعمال میدان بر کل زنجیره بر درهم‌تنیدگی بی‌تأثیر است، اما اعمال میدان بر تک کیوبیت‌ها، بر درهم‌تنیدگی تأثیر می‌گذارد و می‌تواند گاهی موجب تقویت درهم‌تنیدگی شود. همچنین برهم‌کنش DM تحول زمانی سیستم را دگرگون می‌کند و در هر چهار هامیلتونی یاد شده موجب تضعیف درهم‌تنیدگی می‌شود.

**کلیدواژگان:** درهم‌تنیدگی، حالت W، کانکرنس، میدان مغناطیسی، برهم‌کنش DM

W در چهار هامیلتونی متفاوت، نقش این دو عامل را نیز در دینامیک آن بررسی خواهیم کرد. حالت اولیه سیستم حالت W است که با رابطه زیر نشان داده می‌شود [۱۰-۱۳]:

$$|\psi\rangle = \frac{1}{\sqrt{3}}(|001\rangle + |010\rangle + |100\rangle) \quad 1$$

هامیلتونی‌های مورد بررسی ناشی از زنجیره‌های اسپینی XX، Jsing، XXZ و XXX در حضور میدان مغناطیسی و برهم‌کنش DM هستند که شکل کلی آنها را می‌توان با رابطه زیر توصیف کرد:

$$H = \sum_{i=1}^{N-1} (J_x \hat{S}_i^x \hat{S}_{i+1}^x + J_y \hat{S}_i^y \hat{S}_{i+1}^y + J_z \hat{S}_i^z \hat{S}_{i+1}^z) + \vec{B} \cdot \sum_{i=1}^N \vec{S}_i + \vec{D} \cdot \sum_{i=1}^{N-1} (\vec{S}_i \times \vec{S}_{i+1}) \quad 2$$

جمله اول زنجیره اسپینی هایزنبرگی را توصیف می‌کند، که در آن  $J_i (i=x,y,z)$  ثابت برهم‌کنش

### مقدمه

درهم‌تنیدگی کوآنتومی یک منبع بنیادی برای انجام محاسبات کوآنتومی، رمزنگاری کوآنتومی، انتقال از راه دور و کدگذاری فشرده و مانند آن است [۱-۲]. مطالعه این پدیده مخصوصاً در سیستم‌های ماده چگال مانند زنجیره‌های اسپینی، مورد توجه خاص قرار گرفته است [۳-۸]. مقدار درهم‌تنیدگی بین دو اسپین در یک زنجیره، به دلیل برهم‌کنش سیستم با محیط یا عوامل درونی دستخوش تحول می‌شود، که به تقویت یا تضعیف آن می‌انجامد.

از مهمترین برهم‌کنش‌های خارجی و داخلی می‌توان به ترتیب به میدان مغناطیسی و برهم‌کنش دژیالوشینسکی-موریا (DM) اشاره کرد [۴-۹]. در این پژوهش ضمن بررسی تحلیلی درهم‌تنیدگی حالت

\*نویسنده مسئول: mojtaba\_jafarpour@yahoo.com

و ماتریس عملگر چگالی نظیر آن،  
 $\hat{\rho}(t) = |\psi(t)\rangle\langle\psi(t)|$  را محاسبه می‌کنیم. چون هدف ما محاسبهٔ درهم تنیدگی بین کیوبیت ابتدایی و انتهایی زنجیره است، در مرحلهٔ بعدی با گرفتن رد جزئی روی کیوبیت دوم، ماتریس چگالی کاهش یافتهٔ مربوط به این دو کیوبیت را به دست می‌آوریم. در نهایت ماتریس اسپین وارون و ویژه مقادیر آن را یافته و تابع کانکرنس را محاسبه می‌کنیم. برای هر یک از چهار هامیلتونی یاد شده، روند بالا را دنبال خواهیم کرد.

### مدل XX

وضعیتی را بررسی می‌کنیم که میدان بر کل سیستم اعمال شده است. با در نظر گرفتن  $J_x = J_y = \frac{1}{2}$ ، هامیلتونی زنجیرهٔ مورد استفاده در این قسمت برحسب ماتریس‌های پائولی به صورت زیر ساده می‌شود:

$$H = \frac{1}{4}(\sigma_1^x \sigma_2^x + \sigma_1^y \sigma_2^y + \sigma_2^x \sigma_3^x + \sigma_2^y \sigma_3^y) + \frac{B}{2}(\sigma_1^z + \sigma_2^z + \sigma_3^z) + \frac{D}{4}(\sigma_1^x \sigma_2^y - \sigma_1^y \sigma_2^x + \sigma_2^x \sigma_3^y - \sigma_2^y \sigma_3^x) \quad 5$$

با انتخاب حالت W به عنوان حالت اولیه، حالت وابسته به زمان را از رابطهٔ زیر به دست می‌آوریم

$$|\psi(t)\rangle = \hat{U}(t)|\psi(0)\rangle \quad 6$$

$\hat{U}(t)$  با یک ماتریس  $8 \times 8$  نمایش داده می‌شود که با در نظر گرفتن  $D=0$ ، مؤلفه‌های غیر صفر آن به قرار زیر است:

$$U_{11} = U_{88}^* = e^{-\frac{3}{2}iBt} \quad 7$$

$$U_{22} = U_{55} = e^{\frac{1}{2}iBt} \cos\left(\frac{t}{2\sqrt{2}}\right)^2 \quad 8$$

$$U_{44} = U_{77} = e^{\frac{1}{2}iBt} \cos\left(\frac{t}{2\sqrt{2}}\right)^2 \quad 9$$

$$U_{33} = U_{66}^* = e^{-\frac{1}{2}iBt} \cos\left(\frac{t}{\sqrt{2}}\right) \quad 10$$

$$U_{25} = U_{52} = \frac{e^{\frac{1}{2}iBt}}{2} \left[ -1 + \cos\left(\frac{t}{\sqrt{2}}\right) \right] \quad 11$$

تبادلی بین اسپین‌ها،  $\vec{D}$  نمایندهٔ برهم کنش DM و  $\vec{B}$  میدان مغناطیسی است. در مدل XXX،  $J_x = J_y = J_z$ ، در مدل Ising  $J_x = J_y = 0$ ، در مدل XX،  $J_x = J_y = J$ ،  $J_z = 0$  و در مدل XXZ،  $J_x = J_y \neq J_z$  است. جملهٔ دوم در رابطهٔ (۲) نشان‌دهندهٔ اثر میدان مغناطیسی است، که برای سهولت آن را در جهت محور Z در نظر می‌گیریم. جملهٔ سوم نیز اثر برهم کنش DM را نشان می‌دهد [۴-۹].  
 اثر میدان مغناطیسی را در سه وضعیت بررسی می‌کنیم. الف: میدان روی کل سیستم اعمال می‌شود. ب: میدان روی یکی از کیوبیت‌های اول یا انتهای زنجیره اعمال می‌شود. ج: میدان روی کیوبیت دوم اعمال می‌شود. برای اندازه‌گیری درهم تنیدگی بین دو کیوبیت از تابع کانکرنس استفاده می‌کنیم، که با رابطهٔ زیر تعریف می‌شود [۷-۹].

$$C(\hat{\rho}) = \max(0, \sqrt{\lambda_1} - \sqrt{\lambda_2} - \sqrt{\lambda_3} - \sqrt{\lambda_4}) \quad 3$$

که در آن  $\lambda_i$ ها ویژه مقادیر مرتب شده نزولی ماتریس اسپین وارون R هستند:

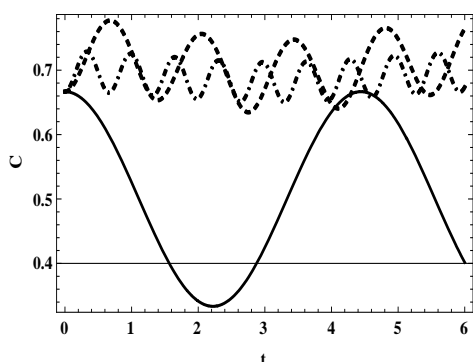
$$R = \rho(\sigma_y \otimes \sigma_y) \rho^*(\sigma_y \otimes \sigma_y) \quad 4$$

$\rho^*$  مزدوج مختلط ماتریس چگالی سیستم دو کیوبیتی در پایه‌های محاسباتی  $|00\rangle$ ،  $|01\rangle$ ،  $|10\rangle$ ،  $|11\rangle$  و  $\sigma_y$  ماتریس پائولی است.  $C=0$  متناظر با حالت جدایی پذیر و  $C=1$  متناظر با حالتی است که درهم تنیدگی بیشینه را دارد (مانند حالت‌های بل) [۷-۹].

برای به دست آوردن تابع کانکرنس در مورد هر هامیلتونی به روش زیر عمل می‌کنیم. ابتدا با استفاده از هامیلتونی مورد نظر، معادلهٔ شرودینگر را حل کرده و عملگر تحول زمانی را به دست می‌آوریم. سپس با اعمال آن بر حالت اولیه، حالت تحول یافته،  $|\psi(t)\rangle$

بنابراین براساس رابطه (۳) اینک کانکرنس را در اختیار داریم، که با توجه به ویژه‌مقادیر به دست آمده، کانکرنس به  $B$  بستگی ندارد. بنابراین میدان مغناطیسی در این وضعیت بر درهم‌تنیدگی سیستم تأثیرگذار نیست.

در شکل‌های ۱ و ۲ به ترتیب نمودار کانکرنس بر حسب زمان به ازاء مقادیر متفاوت میدان مغناطیسی اعمال شده بر کیوبیت اول و کیوبیت دوم نشان داده شده است. دیده می‌شود که در هر دو مورد، در حضور میدان مغناطیسی اعمال شده، نوسانات کانکرنس شدیدتر شده و دوره تناوب کوتاه‌تر می‌شود. علاوه بر این هر اندازه میدان اعمال شده بر کیوبیت دوم بیشتر شود، درهم‌تنیدگی میانگین نیز افزایش می‌یابد.



شکل ۱. کانکرنس بر حسب  $t$  در زنجیره  $XX$ : اعمال میدان بر کیوبیت اول به ازاء  $D=0$ ,  $B=0$  (خط توپر)،  $B=5$  (خط چین)،  $B=10$  (خط چین-نقطه).

اینک برهم‌کنش  $DM$  را در نظر می‌گیریم. با در نظر گرفتن  $B=0$ ، مؤلفه‌های غیر صفر ماتریس عملگر تحول زمانی به صورت زیر هستند:

$$U_{11} = U_{88} = 1 \quad 27$$

$$U_{22} = U_{44} = U_{55} = U_{77} = \cosh\left(\frac{Pt}{2}\right) \quad 28$$

$$U_{33} = U_{66} = \cosh(Pt) \quad 29$$

$$U_{32} = U_{53} = U_{64} = U_{76} = \frac{-1}{2P}[(i+D)\sinh(pt)] \quad 31$$

$$U_{47} = U_{74} = \frac{e^{\frac{1}{2}iBt}}{2} \left[ -1 + \cos\left(\frac{t}{\sqrt{2}}\right) \right] \quad 12$$

$$U_{46} = U_{64} = U_{67} = U_{76} = \frac{-1}{\sqrt{2}} \left[ ie^{\frac{1}{2}iBt} \sin\left(\frac{t}{\sqrt{2}}\right) \right] \quad 13$$

$$U_{23} = U_{32} = U_{53} = U_{35} = \frac{-1}{\sqrt{2}} \left[ ie^{-\frac{1}{2}iBt} \sin\left(\frac{t}{\sqrt{2}}\right) \right] \quad 14$$

اینک مؤلفه‌های غیر صفر حالت تحول یافته را محاسبه می‌کنیم:

$$(\psi(t))_{41} = \frac{e^{\frac{iBt}{2}}}{2\sqrt{3}} \left[ 2\cos\left(\frac{t}{\sqrt{2}}\right) - i\sqrt{2}\sin\left(\frac{t}{\sqrt{2}}\right) \right] \quad 15$$

$$(\psi(t))_{61} = \frac{e^{\frac{iBt}{2}}}{\sqrt{3}} \left[ \cos\left(\frac{t}{\sqrt{2}}\right) - i\sqrt{2}\sin\left(\frac{t}{\sqrt{2}}\right) \right] \quad 16$$

$$(\psi(t))_{71} = \frac{e^{\frac{iBt}{2}}}{2\sqrt{3}} \left[ 2\cos\left(\frac{t}{\sqrt{2}}\right) - i\sqrt{2}\sin\left(\frac{t}{\sqrt{2}}\right) \right] \quad 17$$

همچنین مؤلفه‌های غیر صفر ماتریس چگالی کل سیستم نیز به صورت زیر به دست می‌آید:

$$\rho_{44} = \rho_{77} = \rho_{47} = \rho_{74} = \frac{1}{12} (3 + \cos(\sqrt{2}t)) \quad 18$$

$$\rho_{46} = \rho_{64}^* = \rho_{76} = \rho_{67}^* = \frac{1}{12} (4 + i\sqrt{2}\sin(\sqrt{2}t)) \quad 19$$

$$\rho_{66} = \frac{1}{6} (3 - \cos(\sqrt{2}t)) \quad 20$$

حال با گرفتن رد جزئی روی کیوبیت دوم، ماتریس چگالی کاهش یافته  $4 \times 4$  را به دست می‌آوریم، که مؤلفه‌های غیر صفر آن با روابط زیر نمایش داده می‌شوند:

$$\rho_{44red} = \frac{1}{6} [3 - \cos(\sqrt{2}t)] \quad 21$$

$$\rho_{22red} = \rho_{23red} = \frac{1}{12} [3 + \cos(\sqrt{2}t)] \quad 22$$

$$\rho_{32red} = \rho_{33red} = \frac{1}{12} [3 + \cos(\sqrt{2}t)] \quad 23$$

برای مؤلفه‌های غیر صفر ماتریس اسپین وارون نیز خواهیم یافت:

$$R_{22} = R_{23} = R_{32} = R_{33} = \frac{1}{72} [3 + \cos(\sqrt{2}t)]^2 \quad 24$$

ویژه‌مقادیر ماتریس فوق به صورت زیر است:

$$\lambda_1 = \frac{1}{36} (3 + \cos(\sqrt{2}t))^2 \quad 25$$

$$\lambda_2 = \lambda_3 = \lambda_4 = 0 \quad 26$$

$$\rho_{33red} = \left[ \frac{3+5D^2 - (-1+D^2)\cosh(2Pt) + 8DP\sinh(pt)}{12(1+D^2)} \right] \quad ۳۹$$

$$\rho_{23red} = \left[ \frac{8iD\cosh(pt) + (-1+D^2)(3+\cosh(2Pt))}{12(i+D)^2} \right] \quad ۴۰$$

$$\rho_{32red} = \left[ \frac{-8iD\cosh(pt) + (-1+D^2)(3+\cosh(2Pt))}{12(-i+D)^2} \right] \quad ۴۱$$

در نتیجه مؤلفه‌های غیر صفر ماتریس اسپین وارون به صورت زیر به دست می‌آیند:

$$R_{22} = \frac{1}{144(i+D)^4} \left[ 8iD\cosh(Pt) + (-1+D^2)(3+\cosh(2Pt)) \right]^2 + \frac{1}{288(1+D^2)^2} \left[ 19+26D^2+19D^4+4(3+D^2)(1+3D^2)^2 \cosh(2Pt) \right] + \frac{1}{288(1+D^2)^2} \left[ (-1+D^2)^2 \cosh(4Pt) \right] \quad ۴۲$$

$$R_{23} = \frac{-1}{72(1+D^2)^3} \left[ 16D^2 \cosh(Pt) + (-1+D^2)^2 (3+\cosh(2Pt)) \right] \left[ -3-5D^2 + (-1+D^2)\cosh(2Pt) + 8DP\sinh(Pt) \right] \quad ۴۳$$

$$R_{33} = \frac{1}{144(-i+D)^4} \left[ -8iD\cosh(Pt) + (-1+D^2)(3+\cosh(2Pt)) \right]^2 + \frac{1}{288(1+D^2)^2} \left[ 19+26D^2+19D^4 + (-1+D^2)^2 \cosh(4Pt) \right] \quad (۴۴)$$

$$R_{32} = \frac{-1}{72(1+D^2)^3} \left[ 16D^2 \cosh(Pt) + (-1+D^2)^2 (3+\cosh(2Pt)) \right] \left[ -3-5D^2 + (-1+D^2)\cosh(2Pt) - 8DP\sinh(Pt) \right] \quad ۴۵$$

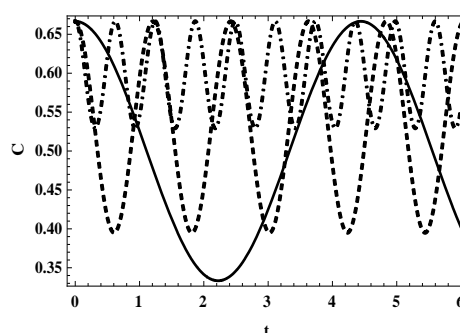
با ادامه کار طبق روند قبلی، تابع کانکرنس را محاسبه می‌کنیم. در شکل ۳ تغییرات کانکرنس برحسب زمان به‌ازاء مقادیر متفاوت پارامتر  $D$  تحت هامپلتونی زنجیره  $XX$  نشان داده شده است. دیده می‌شود که در حضور و همچنین غیاب برهم‌کنش  $DM$ ، کانکرنس به‌طور تناوبی نوسان می‌کند، اما با افزایش پارامتر  $D$  نوسانات کانکرنس شدیدتر شده و دوره تناوب آن کوتاه‌تر می‌شود.

$$U_{23} = U_{33} = U_{46} = U_{67} = \frac{1}{2P} [(-i+D)\sinh(pt)] \quad ۳۲$$

$$U_{52} = U_{74} = \frac{-1}{D-i} \left[ (i+D)\sinh\left(\frac{Pt}{2}\right)^2 \right] \quad ۳۳$$

$$U_{25} = U_{47} = \frac{-1}{i+D} \left[ (-i+D)\sinh\left(\frac{Pt}{2}\right)^2 \right] \quad ۳۴$$

که در آنها،  $P = \frac{\sqrt{-1-D^2}}{\sqrt{2}}$  تعریف شده است.



شکل ۲. کانکرنس برحسب  $t$  در زنجیره  $XX$ : اعمال میدان بر کیوبیت دوم به‌ازاء  $D=0$ ،  $B=0$  (خط توپر)،  $B=5$  (خط چین)،  $B=10$  (خط چین-نقطه).

بنابراین مؤلفه‌های غیر صفر حالت تحول یافته به صورت زیر محاسبه می‌شوند:

بنابراین مؤلفه‌های غیر صفر حالت تحول یافته به صورت زیر محاسبه می‌شوند:

$$(\psi(t))_{41} = \frac{1}{2\sqrt{3}(i+D)} [2D+2i\cosh(Pt)-2P\sinh(Pt)] \quad ۳۴$$

$$(\psi(t))_{61} = \frac{1}{\sqrt{3}(1+D^2)} [(1+D^2)\cosh(Pt)+i2P\sinh(Pt)] \quad ۳۵$$

$$(\psi(t))_{71} = \frac{1}{2\sqrt{3}(-i+D)} [2D-2i\cosh(Pt)+2P\sinh(Pt)] \quad ۳۶$$

بعد از محاسبه ماتریس عملگر چگالی کل سیستم و گرفتن رد جزئی روی کیوبیت دوم، مؤلفه‌های غیر صفر ماتریس چگالی کاهش یافته با روابط زیر نشان داده می‌شوند:

$$\rho_{44red} = \frac{1}{6(1+D^2)} [3+D^2 + (-1+D^2)\cosh(2Pt)] \quad ۳۷$$

$$\rho_{22red} = \left[ \frac{3+5D^2 - (-1+D^2)\cosh(2Pt) - 8DP\sinh(pt)}{12(1+D^2)} \right] \quad ۳۸$$

با در نظر گرفتن اثر برهم‌کنش DM، مؤلفه‌های غیر صفر ماتریس عملگر تحول زمانی برای هامیلتونی آیزینگ به قرار زیر است:

$$U_{11} = U_{88} = e^{-\frac{it}{2}} \quad ۴۹$$

$$U_{23} = U_{35} = U_{46} = U_{67} = \frac{1}{2X} \left[ De^{-\frac{1}{4}(-i+2X)} (-1 + e^{Xt}) \right] \quad ۵۰$$

$$U_{22} = U_{44} = U_{55} = U_{77} = \quad ۵۱$$

$$\frac{1}{2} \left[ 1 + e^{\frac{it}{4}} \left\{ \cosh\left(\frac{1}{2}Xt\right) - \frac{i \sin\left(\frac{1}{2}Xt\right)}{2X} \right\} \right]$$

$$U_{25} = U_{47} = \frac{1}{2} \left[ 1 + e^{\frac{it}{4}} \left\{ -\cosh\left(\frac{1}{2}Xt\right) + \frac{i \sinh\left(\frac{1}{2}Xt\right)}{2X} \right\} \right] \quad ۵۲$$

$$U_{52} = U_{74} = \frac{1}{2} \left[ 1 + e^{\frac{it}{4}} \left\{ -\cosh\left(\frac{1}{2}Xt\right) + \frac{i \sinh\left(\frac{1}{2}Xt\right)}{2X} \right\} \right] \quad ۵۳$$

$$U_{32} = U_{33} = U_{64} = U_{76} = -\frac{1}{2X} \left[ De^{-\frac{1}{4}(-i+2X)} (-1 + e^{Xt}) \right] \quad ۵۴$$

$$U_{33} = U_{66} = e^{\frac{it}{4}} \left( \cosh\left(\frac{1}{2}Xt\right) - \frac{2iX}{(1+8D^2)} \sinh\left(\frac{1}{2}Xt\right) \right) \quad ۵۵$$

که در آن،  $X = \frac{\sqrt{-1-8D^2}}{2}$ ، تعریف شده است.

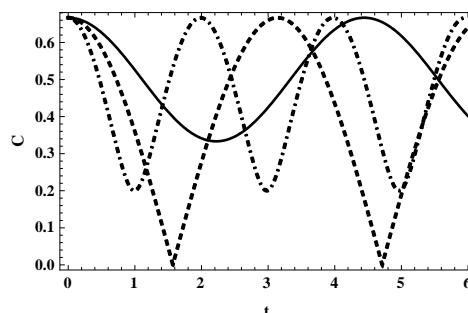
## مدل Ising

با در نظر گرفتن میدان اعمال شده بر کل سیستم، کیوبیت اول و کیوبیت دوم در زنجیره آیزینگ، حالت‌های تحول یافته به ترتیب با حالت‌های زیر نشان داده می‌شوند:

$$(|\psi(t)\rangle)_1 = \frac{e^{\frac{iBt}{2}}}{\sqrt{3}} (|100\rangle + |001\rangle) + \frac{e^{\frac{i(1+B)t}{2}}}{\sqrt{3}} |010\rangle \quad ۴۶$$

$$(|\psi(t)\rangle)_2 = \frac{e^{\frac{iBt}{2}}}{\sqrt{3}} (|100\rangle) + \frac{e^{\frac{iBt}{2}}}{\sqrt{3}} (|001\rangle) + \frac{e^{\frac{i(1+B)t}{2}}}{\sqrt{3}} |010\rangle \quad ۴۷$$

$$(|\psi(t)\rangle)_3 = \frac{e^{\frac{iBt}{2}}}{\sqrt{3}} (|100\rangle + |001\rangle) + \frac{e^{\frac{-i(1+B)t}{2}}}{\sqrt{3}} |010\rangle \quad ۴۸$$



شکل ۳. کانکرنس بر حسب t در زنجیره XX، به ازاء B=0، D=0. (خط توپر)، D=1 (خط چین)، D=2 (خط چین-نقطه).

روند ادامه محاسبات شبیه حالت قبلی است و بنابراین به بیان نتایج بسنده می‌کنیم. نمودار کانکرنس بر حسب زمان به ازاء مقادیر متفاوت میدان اعمال شده بر کل سیستم، میدان اعمال شده بر کیوبیت اول و میدان اعمال شده بر کیوبیت دوم در شکل ۴ نشان داده شده است. چنان‌که دیده می‌شود، در هر سه وضعیت میدان بر در هم‌تنیدگی تأثیرگذار نیست و مقدار کانکرنس برابر با  $C = 0.66$  است. بنابراین میدان مغناطیسی در این زنجیره، بر در هم‌تنیدگی سیستم تأثیر گذار نیست.

$$\rho_{23red} = \frac{1}{3Q^2} \left[ \begin{array}{l} Q - 2DXe^{\frac{-1}{4}(-i+2X)t} (-1 + e^{Xt}) \\ Q + 2DXe^{\frac{-1}{4}(i+2X)t} (-1 + e^{Xt}) \end{array} \right] \quad 61$$

$$\rho_{32red} = \frac{1}{3Q^2} \left[ \begin{array}{l} Q + 2DXe^{\frac{-1}{4}(-i+2X)t} (-1 + e^{Xt}) \\ Q - 2DXe^{\frac{-1}{4}(i+2X)t} (-1 + e^{Xt}) \end{array} \right] \quad 62$$

$$\rho_{44red} = \frac{1}{3+24D^2} [1+4D^2+4D^2 \cosh(Xt)] \quad 63$$

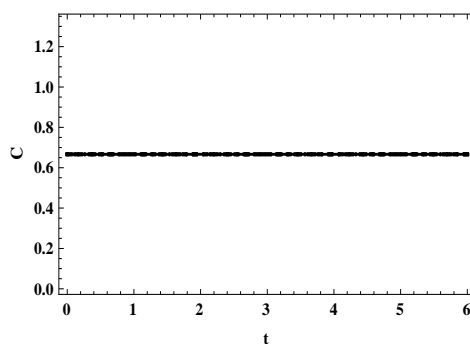
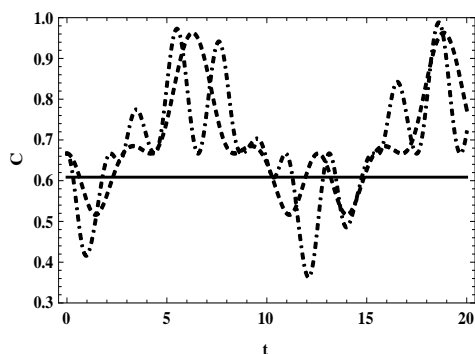
در نهایت ماتریس اسپین وارون و سپس ویژه مقادیر آن را به صورت زیر به دست می آوریم:

$$\lambda_1 = \frac{4e^{-2Xt}}{9Q^2} \left( Qe^{\frac{1}{2}(-i+2X)t} + D^2 (-1 + e^{Xt})^2 \right) \quad 64$$

$$\left( Qe^{\frac{1}{2}(i+2X)t} + D^2 (-1 + e^{Xt})^2 \right)$$

$$\lambda_2 = \lambda_3 = \lambda_4 = 0 \quad 65$$

در شکل ۵، تغییرات کانرنس برحسب زمان به ازاء مقادیر متفاوت پارامتر  $D$  تحت هامیلتونی زنجیره آیزینگ نشان داده شده است. دیده می شود که در غیاب برهم کنش  $DM$  کانرنس ثابت است. اما در حضور این برهم کنش، کانرنس نوسان کرده و با افزایش قدرت این برهم کنش، نوسانات شدیدتر می شود.



شکل ۴. نمودار کانرنس برحسب  $t$  در زنجیره Ising. اعمال میدان برکل سیستم، کیوبیت اول و کیوبیت دوم به ازاء  $D=0$ ،  $B=0$  (خط توپر)،  $B=5$  (خط چین)،  $B=10$  (خط چین-نقطه).

بعد از اعمال عملگر تحول زمانی بر حالت اولیه، حالت تحول یافته را به دست می آوریم، که مؤلفه های ماتریسی غیر صفر آن عبارتند از:

$$(\psi(t))_{41} = \frac{1}{\sqrt{3}Q} \left[ Q - 2DXe^{\frac{-1}{4}(-i+2X)t} (-1 + e^{Xt}) \right] \quad 66$$

$$(\psi(t))_{61} = \frac{e^{\frac{it}{4}}}{\sqrt{3}Q} \left[ Q \cosh\left(\frac{Xt}{2}\right) - 2iX \sinh\left(\frac{Xt}{2}\right) \right] \quad 67$$

$$(\psi(t))_{71} = \frac{1}{\sqrt{3}Q} \left[ Q + 2DXe^{\frac{-1}{4}(-i+2X)t} (-1 + e^{Xt}) \right] \quad 68$$

که در آن،  $Q=1+8D^2$ ، تعریف شده است. اینک ماتریس عملگر چگالی کاهش یافته را به دست می آوریم. مؤلفه های غیر صفر ماتریس یاد شده با روابط زیر داده می شوند:

$$\rho_{22red} = \frac{1}{3Q^2} \left[ \begin{array}{l} Q - 2DXe^{\frac{-1}{4}(-i+2X)t} (-1 + e^{Xt}) \\ Q - 2DXe^{\frac{-1}{4}(i+2X)t} (-1 + e^{Xt}) \end{array} \right] \quad 69$$

$$\rho_{33red} = \frac{1}{3Q^2} \left[ \begin{array}{l} Q + 2DXe^{\frac{-1}{4}(-i+2X)t} (-1 + e^{Xt}) \\ Q + 2DXe^{\frac{-1}{4}(i+2X)t} (-1 + e^{Xt}) \end{array} \right] \quad 70$$

اینک با استفاده از رابطه (۳) تابع کانکرنس را به دست می‌آوریم. با توجه به ویژه‌مقادیر به دست آمده، در این وضعیت نیز میدان بر درهم‌تنیدگی تأثیر گذار نیست. در شکل ۶ تغییرات کانکرنس برحسب زمان به ازاء مقادیر متفاوت میدان مغناطیسی اعمال شده بر کیوبیت اول تحت هامیلتونی زنجیره‌ی XXX، نشان داده شده است.

مشاهده می‌شود که میدان مغناطیسی افت و خیزهای شدیدی را درهم‌تنیدگی ایجاد می‌کند، اما به‌طور میانگین موجب تشدید درهم‌تنیدگی در مقایسه با مقدار آغازین می‌گردد.

در وضعیتی که میدان بر کیوبیت دوم اعمال می‌شود، مؤلفه‌های غیر صفر ماتریسی حالت تحول یافته به صورت زیر هستند:

$$(\psi(t))_{41} = \frac{e^{\frac{i}{2}(Y \cosh(Mt) - 2Mi(-2+B) \sinh(Mt))}}{\sqrt{3}Y} \quad ۷۹$$

$$(\psi(t))_{61} = \frac{e^{\frac{i}{2}(Y \cosh(Mt) + 2iM(1+B) \sinh(Mt))}}{\sqrt{3}Y} \quad ۸۰$$

$$(\psi(t))_{71} = \frac{e^{\frac{i}{2}(Y \cosh(Mt) - 2iM(-2+B) \sinh(Mt))}}{\sqrt{3}Y} \quad ۸۱$$

که در آن‌ها  $Y = 3 + (-2B + B^2)$  و  $M = \frac{1}{2} \sqrt{-3 + 2B - B^2}$  تعریف شده است.

در این حالت مؤلفه‌های غیر صفر ماتریس چگالی به صورت زیر محاسبه می‌شوند.

$$\begin{aligned} \rho_{22\text{red}} = \rho_{33\text{red}} = \rho_{32\text{red}} = \rho_{23\text{red}} \\ = \frac{1}{6Y} [7 - 6B + 2B^2 + (-1 + 2B) \cosh(2Mt)] \end{aligned} \quad ۸۲$$

$$\rho_{44\text{red}} = \frac{1}{3Y} [2 + B^2 + (1 - 2B) \cosh(2Mt)] \quad ۸۳$$

همچنین مؤلفه‌های غیر صفر ماتریس اسپین وارون به صورت زیر هستند:

$$R_{22} = R_{23} = R_{32} = R_{33} \quad ۸۴$$

شکل ۵. کانکرنس برحسب  $t$  در زنجیره  $J_{\text{sing}}$  به‌ازاء  $B=0$ ،  $D=0$  (خط توپر)،  $D=1$  (خط چین)،  $D=2$  (خط چین-نقطه).

### مدل XXX

ابتدا میدان را بر کل سیستم اعمال می‌کنیم. در این وضعیت مؤلفه‌های ماتریسی غیر صفر حالت تحول یافته به صورت زیر است:

$$(\psi(t))_{41} = \frac{1}{3} e^{\frac{i(1+B)t}{2}} \left[ \sqrt{3} \cos\left(\frac{\sqrt{3}}{2}t\right) - 2i \sin\left(\frac{\sqrt{3}}{2}t\right) \right] \quad ۶۶$$

$$(\psi(t))_{61} = \frac{1}{3} e^{\frac{i(1+B)t}{2}} \left[ \sqrt{3} \cos\left(\frac{\sqrt{3}}{2}t\right) - i \sin\left(\frac{\sqrt{3}}{2}t\right) \right] \quad ۶۷$$

$$(\psi(t))_{71} = \frac{1}{3} e^{\frac{i(1+B)t}{2}} \left[ \sqrt{3} \cos\left(\frac{\sqrt{3}}{2}t\right) - 2i \sin\left(\frac{\sqrt{3}}{2}t\right) \right] \quad ۶۸$$

مؤلفه‌های غیر صفر ماتریس چگالی نظیر حالت بالا نیز به صورت زیر به دست می‌آیند:

$$\rho_{44} = \rho_{47} = \rho_{74} = \rho_{77} = \frac{1}{18} (7 - \cos(\sqrt{3}t)) \quad ۶۹$$

$$\rho_{66} = \frac{1}{9} (2 + \cos(\sqrt{3}t)) \quad ۷۰$$

$$\rho_{46} = \rho_{76} = \frac{1}{18} (5 + \cos(\sqrt{3}t) - i\sqrt{3} \sin(\sqrt{3}t)) \quad ۷۱$$

$$\rho_{64} = \rho_{67} = \frac{1}{18} (5 + \cos(\sqrt{3}t) + i\sqrt{3} \sin(\sqrt{3}t)) \quad ۷۲$$

اینک ماتریس چگالی کاهش یافته را به دست می‌آوریم. مؤلفه‌های غیر صفر آن با روابط زیر توصیف می‌شوند:

$$\rho_{22\text{red}} = \rho_{23\text{red}} = \frac{1}{18} (7 - \cos(\sqrt{3}t)) \quad ۷۳$$

$$\rho_{32\text{red}} = \rho_{33\text{red}} = \frac{1}{18} (7 - \cos(\sqrt{3}t)) \quad ۷۴$$

$$\rho_{44\text{red}} = \frac{1}{9} (2 + \cos(\sqrt{3}t)) \quad ۷۵$$

مؤلفه‌های غیر صفر ماتریس اسپین وارون نیز مشابه روند قبلی به صورت زیر محاسبه می‌شوند:

$$R_{22} = R_{23} = R_{32} = R_{33} = \frac{1}{162} [-7 + \cos(\sqrt{3}t)]^2 \quad ۷۶$$

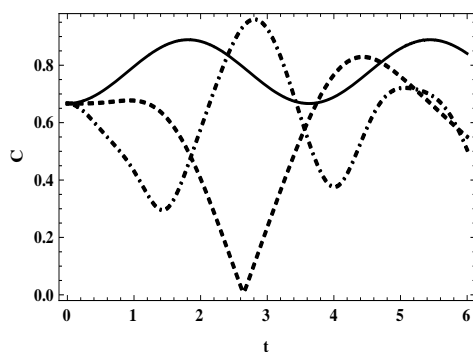
ویژه‌مقادیر ماتریس یاد شده برابر است با:

$$\lambda_1 = \frac{1}{162} (99 - 28 \cos(\sqrt{3}t) + \cos(2\sqrt{3}t)) \quad ۷۷$$

$$\lambda_2 = \lambda_3 = \lambda_4 = 0 \quad ۷۸$$

شکل ۷. کانکرنس برحسب  $t$  در زنجیرهٔ  $XXZ$ : اعمال میدان بر کیوبیت دوم به ازاء  $D=0$ ,  $B=0$  (خط توپر)،  $B=5$  (خط چین)،  $B=10$  (خط چین-نقطه).

در شکل ۸، تغییرات کانکرنس برحسب زمان به ازاء مقادیر متفاوت پارامتر  $D$  تحت هامیلتونی زنجیرهٔ  $XXZ$  نشان داده شده است. دیده می‌شود که در غیاب برهم‌کنش  $DM$ ، کانکرنس نوسانات هموار و منظمی دارد. اما در حضور این برهم‌کنش، نوسانات کانکرنس نامنظم می‌شود و با افزایش اندازهٔ پارامتر  $D$ ، درهم تنیدگی به‌طور میانگین کاهش می‌یابد.



شکل ۸. کانکرنس برحسب  $t$  در زنجیرهٔ  $XXZ$ ، به ازاء  $B=0$ ،  $D=0$  (خط توپر)،  $D=1$  (خط چین)،  $D=2$  (خط چین-نقطه).

### مدل XXX

با اعمال میدان بر کل سیستم در زنجیرهٔ  $XXX$  و انجام محاسبات، نمودار کانکرنس برحسب زمان به‌ازاء مقادیر متفاوت میدان مغناطیسی در شکل ۹ نشان داده شده است. چنان‌که می‌بینیم در این وضعیت میدان بر درهم تنیدگی تأثیر گذار نیست و کانکرنس مقدار ثابت  $C=0.66$  را دارا است.

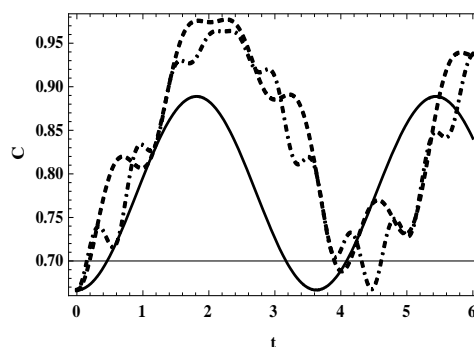
$$= \frac{1}{18Y^2} [7 + (-6B + 2B^2) + (-1 + 2B)\cosh(2Mt)]^2$$

ویژه‌مقادیر این ماتریس به صورت زیر محاسبه می‌شوند:

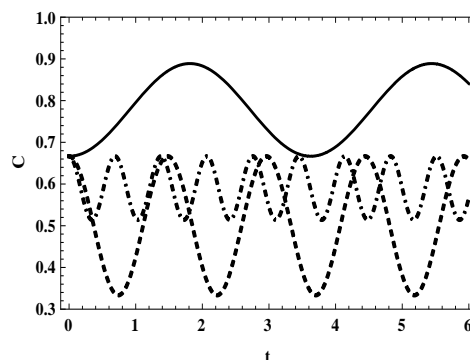
$$\lambda_4 = \frac{1}{9Y^2} [7 + (-6B + 2B^2) + (-1 + 2B)\cosh(2Mt)]^2 \quad ۸۵$$

$$\lambda_2 = \lambda_3 = \lambda_4 = 0 \quad ۸۶$$

اینک با استفاده از رابطهٔ (۳) کانکرنس را در اختیار داریم. در شکل ۷ تغییرات کانکرنس برحسب زمان به ازاء مقادیر متفاوت میدان مغناطیسی اعمال شده بر کیوبیت دوم تحت هامیلتونی زنجیرهٔ  $XXZ$ ، نشان داده شده است. می‌بینیم که با اعمال میدان بر کیوبیت دوم، کانکرنس نوسانات هموار و منظمی دارد، اما با افزایش اندازهٔ میدان دورهٔ تناوب کوتاه‌تر می‌شود.



شکل ۶. کانکرنس برحسب  $t$  در زنجیرهٔ  $XXZ$ : اعمال میدان بر کیوبیت اول به ازاء  $D=0$ ,  $B=0$  (خط توپر)،  $B=5$  (خط چین)،  $B=10$  (خط چین-نقطه).





$$(\psi(t))_{71} = \frac{e^{\frac{it}{4}}}{\sqrt{3W}} [W \cosh(Nt) + 4i(3-2B)N \sinh(Nt)] \quad ۸۹$$

که در آن‌ها  $W = (9-4B+4B^2)$  و  $N = \frac{1}{4}\sqrt{-9+4B-4B^2}$  تعریف شده است.

در این حالت مؤلفه‌های غیر صفر ماتریس چگالی کاهش یافته به‌قرار زیر محاسبه می‌شوند:

$$\rho_{22red} = \rho_{23red} = \rho_{32red} = \rho_{33red} = \quad ۹۰$$

$$\frac{1}{3W} [9-8B+4B^2+4B \cosh(2Nt)]$$

$$\rho_{44red} = \frac{1}{3W} [9+4B+4B^2-8B \cosh(2Nt)] \quad ۹۱$$

همچنین مؤلفه‌های غیر صفر ماتریس اسپین وارون به‌صورت زیر هستند:

$$R_{22} = R_{23} = R_{32} = R_{33} \quad ۹۲$$

$$= \frac{2}{9W^2} [9-8B+4B^2+4B \cosh(2Nt)]^2$$

ویژه‌مقادیر این ماتریس برابر است با:

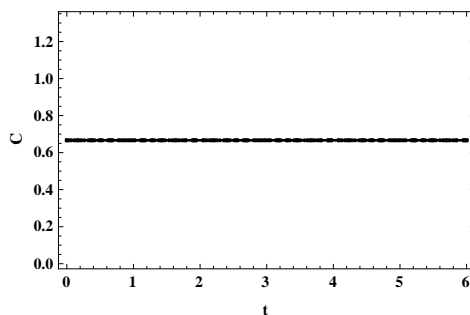
$$\lambda_1 = \frac{4}{9W^2} [9-8B+4B^2+4B \cosh(2Nt)]^2 \quad ۹۳$$

$$\lambda_2 = \lambda_3 = \lambda_4 = 0 \quad ۹۴$$

در شکل ۱۱ نمودار کانکرنس برحسب زمان به‌ازاء مقادیر متفاوت میدان اعمال شده بر کیوبیت دوم برای زنجیره XXX نشان داده شده است. دیده می‌شود که در این حالت نیز افزایش میدان، زمان تناوب نوسانات را کاهش می‌دهد اما به‌طور میانگین درهم‌تندگی را تشدید می‌کند.

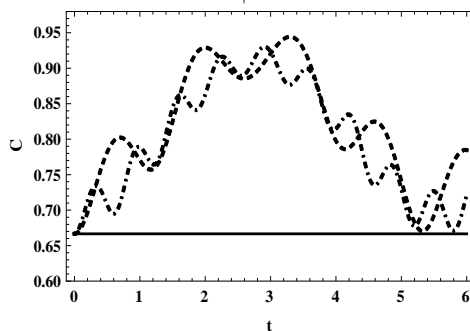
اینک با در نظر گرفتن اثر برهم‌کنش DM و اعمال عملگر تحول زمانی بر حالت اولیه، حالت تحول یافته را برای هامیلتونی XXX به‌دست می‌آوریم. مؤلفه‌های ماتریس غیر صفر آن به‌قرار زیر هستند:

$$(\psi(t))_{41} = \frac{e^{-\frac{1}{4}(i+E)t}}{2\sqrt{3}(i+D)Z} [3E+2D^2E-3Ee^{\frac{1}{2}Et}] \quad ۹۵$$



شکل ۹. کانکرنس برحسب t در زنجیره XXX: اعمال میدان بر کل سیستم به‌ازاء  $D=0$ ,  $B=0$  (خط توپر)،  $B=5$  (خط چین)،  $B=10$  (خط چین-نقطه)

در شکل ۱۰ تغییرات کانکرنس برحسب زمان، به‌ازاء مقادیر مختلف میدان مغناطیسی اعمال شده بر کیوبیت اول، تحت هامیلتونی زنجیره XXX نشان داده شده است. مشاهده می‌کنیم که با اعمال میدان بر کیوبیت اول، کانکرنس رفتار نوسانی نامنظمی دارد، اما حضور میدان موجب تقویت درهم‌تندگی شده است.



شکل ۱۰. کانکرنس برحسب t در زنجیره XXX: اعمال میدان بر کیوبیت اول به‌ازاء  $D=0$ ,  $B=0$  (خط توپر)،  $B=5$  (خط چین)،  $B=10$  (خط چین-نقطه).

در وضعیتی که میدان بر کیوبیت دوم اعمال می‌شود، مؤلفه‌های غیر صفر ماتریس حالت تحول یافته به‌صورت زیر هستند:

$$(\psi(t))_{41} = \frac{e^{\frac{it}{4}}}{\sqrt{3W}} [W \cosh(Nt) + 4i(3-2B)N \sinh(Nt)] \quad ۸۷$$

$$(\psi(t))_{61} = \frac{e^{\frac{it}{4}}}{\sqrt{3W}} [W \cosh(Nt) + 4i(3+2B)N \sinh(Nt)] \quad ۸۸$$



[6] M. Jafarpour, M. Ashrafpour, Entanglement dynamics of a two-qutrit system under DM interaction and the relevance of the initial state, *Quantum Information Processing* 12 (2013) 761-772.

[۷] س. حسابی، م. جعفرپور، بررسی و مقایسه دینامیک درهم‌تنیدگی حالت همدوس دو کیوبیتی تحت چهار هامیلتونی مختلف، کنفرانس فیزیک ایران، بیرجند، (۱۳۹۲) ۵-۱.

[۸] س. حسابی، م. جعفرپور، بررسی و مقایسه دینامیک درهم‌تنیدگی حالت‌های بل تحت چهار هامیلتونی مختلف، اولین همایش ملی تئوری اطلاعات و ارتباطات کوآنتومی، اهواز، (۱۳۹۲) ۵-۱.

[9] Z.N. Gurkan, Entanglement and topological soliton structures in Hisenberg spin models, *Dissertation*, (2010) 1-163.

[10] W. Dür, G. Vidal, J.I. Cirac", Three qubits can be entangled in two inequivalent ways, *Physical Revivie A* 62 (2000) 1-12.

[11] P. Agrawal, A. Pati, Perfect teleportation and superdense coding with W states, *Physical Revivie A* 74 (2006) 1-9.

[12] A. Cabello, Bell's theorem with and without inequalities for the three-qubit Greenberger-Horne-Zeilinger and W states, *Physical Revivie A* 65 (2002) 1-5.

[13] T. Yamamoto, K. Tamaki, M. Koashi, N. Imoto, Polarization entangled W state using parametric down-conversion, *arXiv quant-ph/0208162* (2002) 1-4.

آیزینگ، اعمال میدان بر اسپین اول تأثیری بر درهم‌تنیدگی ندارد، اما در سه هامیلتونی دیگر، اگرچه موجب تشدید نوسان‌ها می‌شود، ولی درهم‌تنیدگی را به‌طور میانگین افزایش می‌دهد.

(۴) اعمال میدان بر کیوبیت دوم در هامیلتونی آیزینگ بی‌تأثیر است، اما در هامیلتونی  $XX$  موجب افزایش میانگین درهم‌تنیدگی در مقایسه با هامیلتونی خالص و در هامیلتونی‌های  $XXX$  و  $XXZ$  موجب کاهش میانگین آن می‌شود.

(۵) تأثیر برهم‌کنش  $DM$  بر هامیلتونی‌های  $XX$ ،  $XXX$  و  $XXZ$  موجب تشدید نوسان‌ها و کاهش میانگین درهم‌تنیدگی در مقایسه با هامیلتونی خالص می‌شود، اما در مدل آیزینگ میانگین آنرا افزایش می‌دهد.

## منابع

[1] Z. Hong-Fang, S. Bin, L. Jion, Entanglement sudden death induced by the Dzialoshinskii-Moriya interaction, *Chinese Physics B* 18 (2009) 3265-3270.

[2] S. Chuan-Jia, C. Wei-Wen, L. Ji-Bing, Sudden death, birth and stable entanglement in a two-qubit Heisenberg XY spin chain, *Chinese Physics Letters* 25 (2008) 3115-3118.

[3] A. Sabour, M. Jafarpour, A probability measure for entanglement of pure two-qubit system and a useful interpretation for concurrence, *Chinese Physics Letters* 28 (2011) 1-4.

[4] Guo-Feng. Zhang, Shu-Shen. Li, Thermal entanglement in a two-qubit Heisenberg  $XXZ$  spin chain under an inhomogeneous magnetic field, *Physical Revivie A* 72 (2005) 1-4.

[5] M. Jafarpour, M.R. Pourkarimi, A. Akhound, Entanglement sudden death and its suppression in multi-qubit channels. Using a magnetic field, *Il NUOVO Cimento B* 124 (2009) 269-279.